

Objet : **Expérience E744\_I. Stefan-AGATA-MUGAST-VAMOS**

Date : 04.04.2019

De : A. Lefèvre, F. Legruel

A :

J. Stefan, M. Assié, F. De Oliveira, V. Girardalcindor, A. Giret, J. Goupil, S. Herlant, B. Jacquot, V. Lapoux, A. Lemason, L. Ménager, J. Pancin

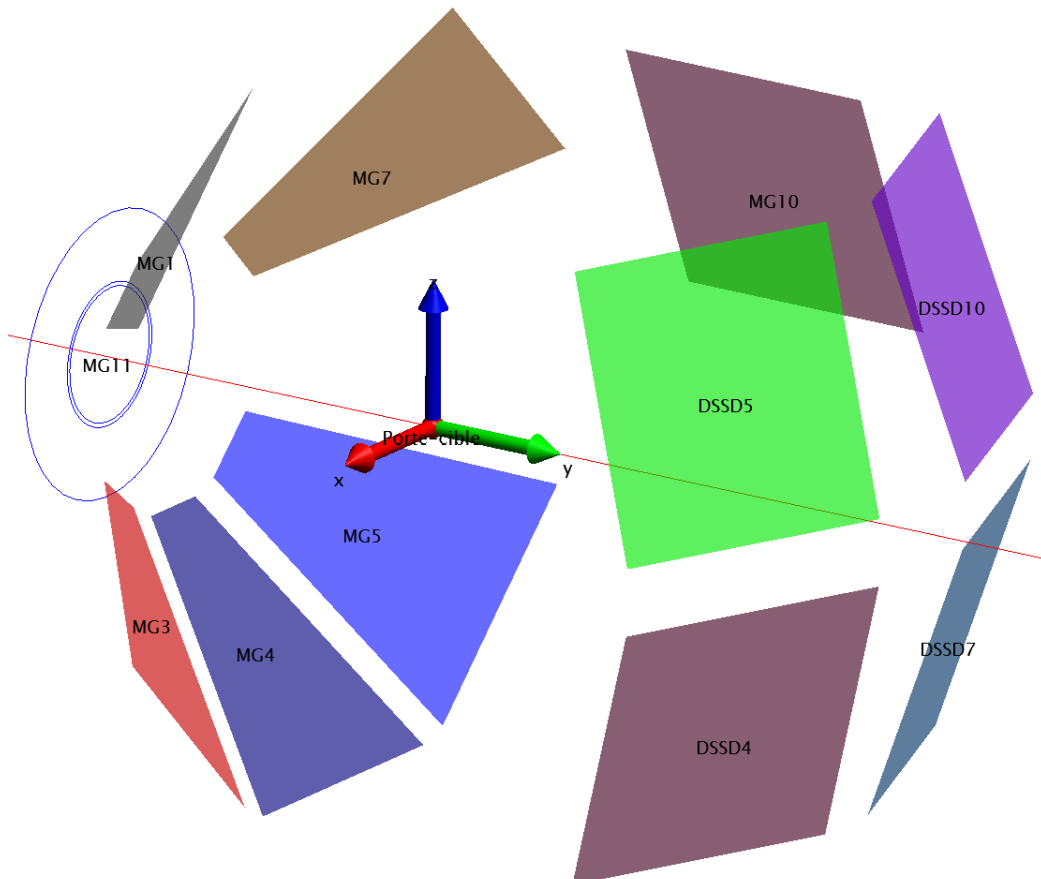
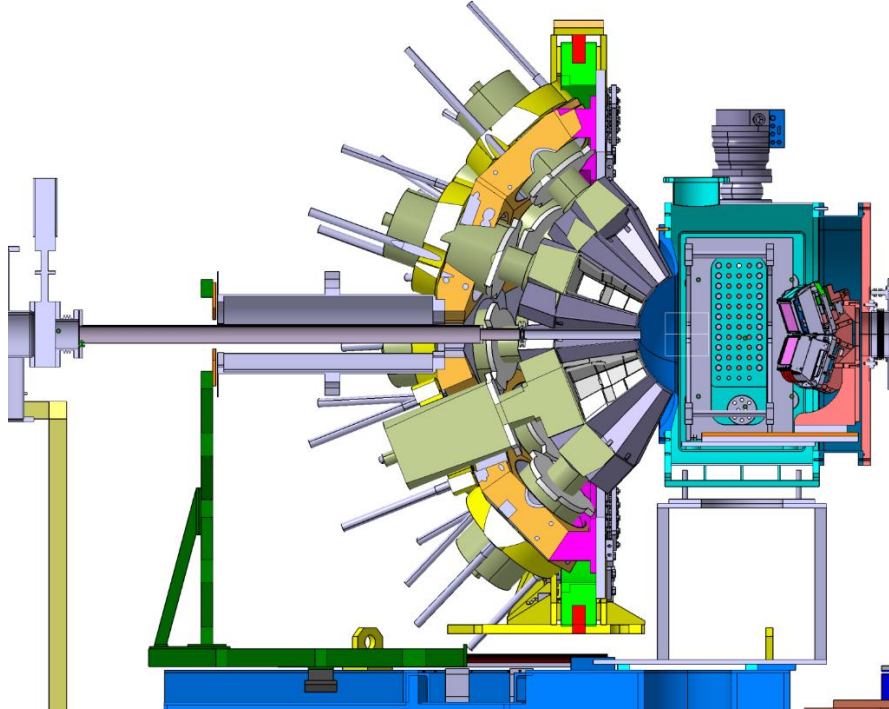
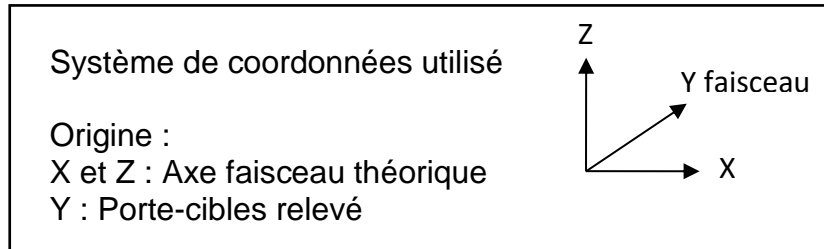
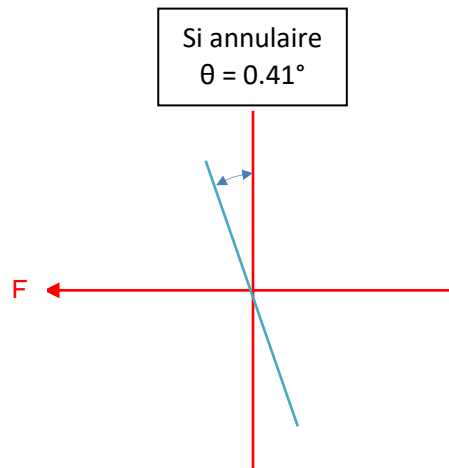


Tableau des relevés topométriques des dispositifs expérimentaux



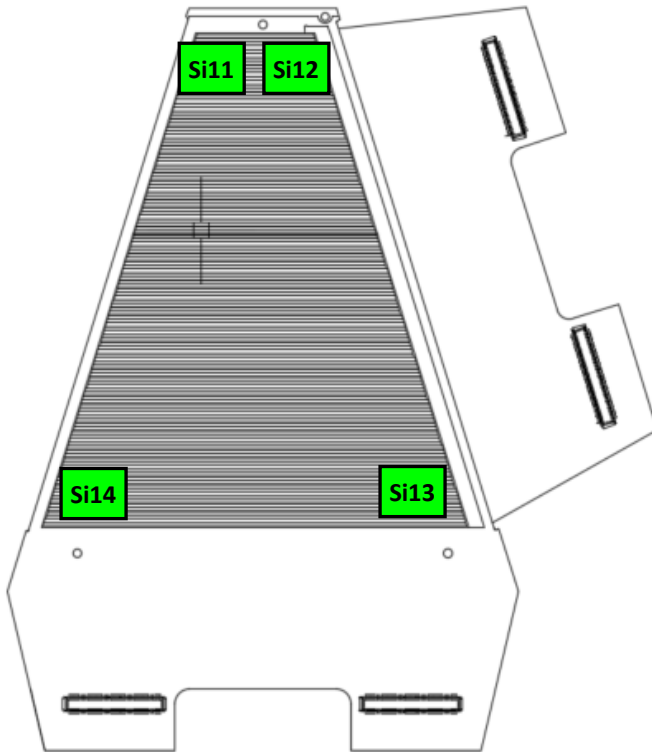
Objet	Références			Commentaire	Repéré le
	Axe faisceau théorique		Porte-cibles relevé		
	Ecart horizontal (dx) en mm ± 0.25	Ecart vertical (dz) en mm ± 0.25	Distance (dy) en mm ± 1.0		
<b>CATS1</b>	Cadre non visible		- 2 658	Axe fenêtre	
<b>Masque CATS2</b>	+ 0.1	+ 0.7	- 2 190	Trou central du masque	15.02.19
<b>CATS2</b>	Cadre non visible		- 2 045	Axe fenêtre	
<b>Silicium Annulaire (MG11)</b>	+ 0.3	+ 1.0	- 126.9	Voir schéma ci-dessous pour orientation	26.02.19
<b>Point cible théorique de la ligne</b>			-0.53	Axe de rotation du spectromètre	
<b>Porte-cibles</b>	+ 2.0	0.0	0.0	Trou central du masque	06.03.19
<b>Chambre à dérive 1</b>	<b>Entrée</b>	- 0.1	0.0	Relevé face avant du cadre	26.03.19
	<b>Sortie</b>	- 0.2	- 0.1		



**DETECTEUR GASPARD (relevé le 26.02.2019)**

Repérage tridimensionnel des siliciums au moyen d'un système de mesure portable à bras 6 axes

Principe de numérotation des angles des détecteurs Si

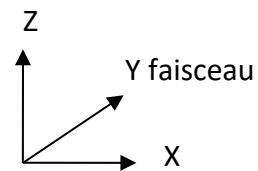


Système de coordonnées utilisé

Origine :

X et Z : Axe faisceau théorique

Y : Porte-cibles relevé

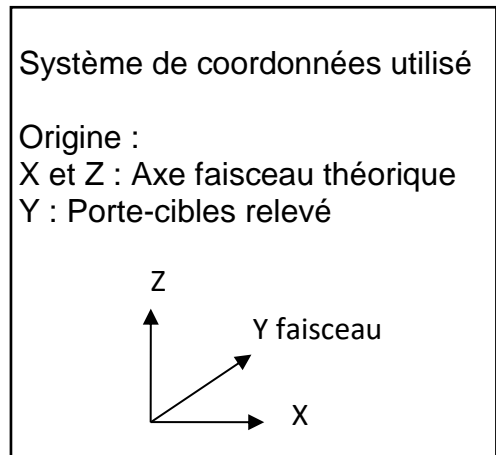
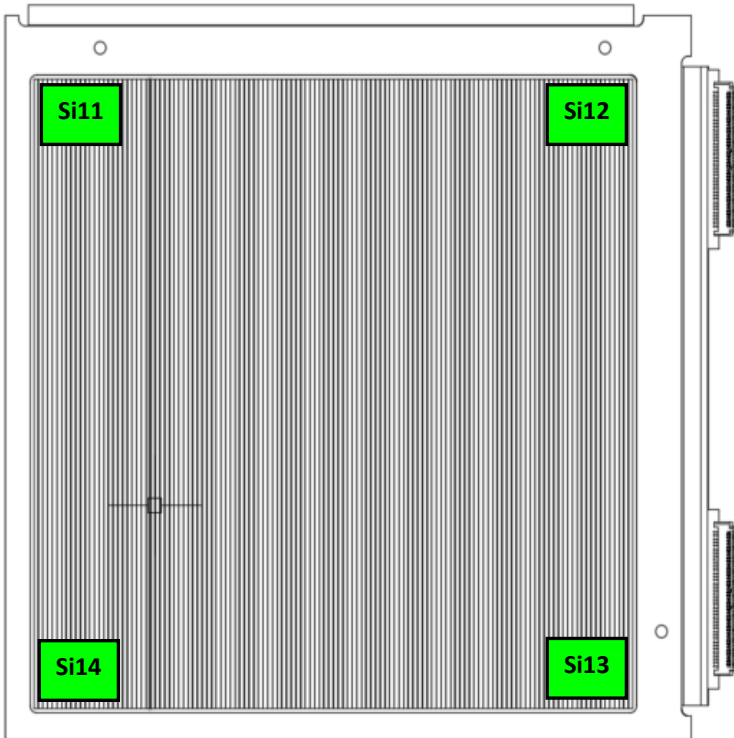


	Angle Si	X (m)	Y (m)	Z (m)
MG1 Support 1 Télescope 10	Si101	0.02305	-0.09966	0.04283
	Si102	0.04074	-0.09965	0.02521
	Si103	0.12065	-0.03239	0.05867
	Si104	0.05566	-0.03255	0.12317
MG3 Support 3 Télescope 6	Si61	0.04805	-0.09505	-0.02323
	Si62	0.02483	-0.09933	-0.03935
	Si63	0.05824	-0.03257	-0.11946
	Si64	0.12286	-0.03241	-0.05455
MG4 Support 4 Télescope 9	Si91	0.01511	-0.09925	-0.04473
	Si92	-0.01011	-0.09935	-0.04471
	Si93	-0.04337	-0.03274	-0.12507
	Si94	0.04818	-0.03245	-0.12507
MG5 Support 5 Télescope 5	Si51	-0.02168	-0.10019	-0.04148
	Si52	-0.03955	-0.10011	-0.02381
	Si53	-0.11955	-0.03323	-0.05708
	Si54	-0.05481	-0.03312	-0.12170
MG7 Support 7 Télescope 7	Si71	-0.04099	-0.09821	0.02169
	Si72	-0.02334	-0.09804	0.03963
	Si73	-0.05753	-0.03258	0.12053
	Si74	-0.12220	-0.03267	0.05573

**DETECTEUR TRACE (relevé le 26.02.2019)**

*Repérage tridimensionnel des siliciums au moyen d'un système de mesure portable à bras 6 axes*

Principe de numérotation des angles des détecteurs Si

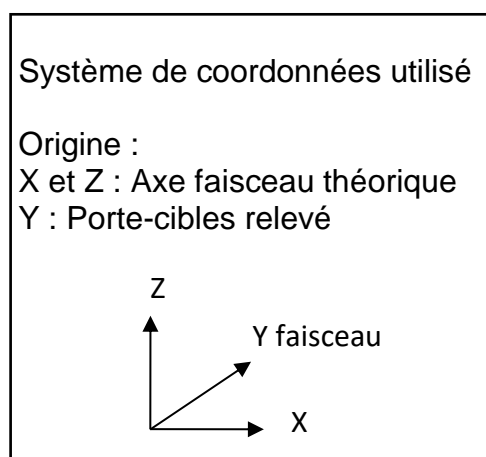
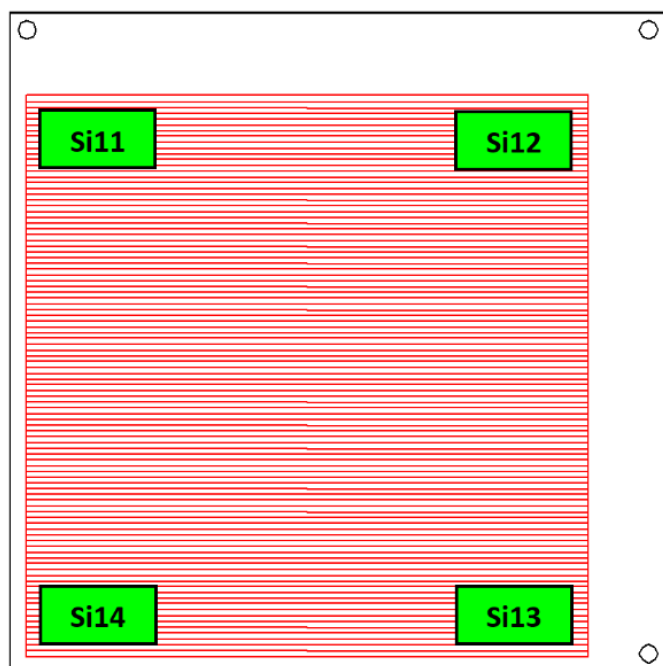


	Angle Si	X (m)	Y (m)	Z (m)
MG10 3219 -3 482 μm	Si11	-0.11136	0.08982	0.09774
	Si12	-0.14747	0.09000	0.00983
	Si13	-0.14770	-0.00179	0.00988
	Si14	-0.11163	-0.00202	0.09770

## DETECTEUR MUST2 (relevé le 28.02.2019)

Repérage tridimensionnel des siliciums au moyen d'un système de mesure portable à bras 6 axes

### Principe de numérotation des angles des détecteurs Si



	Angle Si	X (m)	Y (m)	Z (m)
DSSD4	Si41	0.11328	0.15332	-0.01252
	Si42	0.10158	0.12482	-0.10477
	Si43	0.01139	0.16148	-0.10458
	Si44	0.02310	0.18998	-0.01234
DSSD5	Si51	0.01123	0.16087	0.10242
	Si52	0.10139	0.12437	0.10239
	Si53	0.11317	0.15356	0.01036
	Si54	0.02303	0.19005	0.01038
DSSD7	Si71	-0.01382	0.16072	-0.10492
	Si72	-0.1043	0.12508	-0.10495
	Si73	-0.11575	0.15376	-0.01273
	Si74	-0.02523	0.18943	-0.01265
DSSD10	Si101	-0.11588	0.15454	0.00961
	Si102	-0.10480	0.12509	0.10189
	Si103	-0.01455	0.16063	0.10240
	Si104	-0.02563	0.19008	0.01012